

66

(66)

АКАДЕМИЯ НАУК СССР

РАДИОТЕХНИКА
и
ЭЛЕКТРОНИКА

Том XXVII

(ОТДЕЛЬНЫЙ ОТТИСК)

8

МОСКВА · 1982

УДК 621.391

ПРИЕМ СЛУЧАЙНОГО СИГНАЛА С НЕИЗВЕСТНОЙ ШИРИНОЙ СПЕКТРА МОЩНОСТИ

Трифонов А. П., Галун С. А.

Получены асимптотически точные (с увеличением времени наблюдения) выражения для характеристик обнаружения и оценки ширины спектра мощности гауссовского полосового сигнала по методу максимального правдоподобия.

ВВЕДЕНИЕ

Во многих приложениях статистической теории радиолокации и связи в качестве модели полезного сигнала используется узкополосный стационарный гауссовский случайный процесс с полосовым спектром мощности [1–4]

$$(1) \quad K_s(\omega, \Omega_0) = \begin{cases} N_s/2, & |\omega \pm \omega_0| \leq \Omega_0/2, \\ 0, & |\omega \pm \omega_0| > \Omega_0/2. \end{cases}$$

Рассмотрим задачу обнаружения случайного сигнала $s(t)$ и оценки ширины Ω_0 его спектра мощности (1) на фоне гауссовского белого шума $n(t)$. Положим, что неизвестная ширина Ω_0 спектра мощности (1) принимает значения из априорного интервала $[\Omega_{\min}; \Omega_{\max}]$, а для обработки сигнала $s(t)$ используется метод максимального правдоподобия. Устройство, реализующее этот метод, будем называть приемником максимального правдоподобия [5]. Ниже найдены приближенные выражения для характеристик приемника максимального правдоподобия. Точность полученных формул повышается с увеличением времени наблюдения.

1. ВЫХОДНОЙ СИГНАЛ ПРИЕМНИКА МАКСИМАЛЬНОГО ПРАВДОПОДОБИЯ

Пусть на вход приемника в течение интервала времени $(-T/2; T/2)$ поступает реализация процесса $x(t) = n(t)$ или $x(t) = s(t) + n(t)$. Здесь $s(t)$ — реализация стационарного центрированного гауссовского случайного процесса со спектром мощности (1); $n(t)$ — реализация центрированного гауссовского белого шума с односторонней спектральной плотностью N_0 , причем $s(t)$ и $n(t)$ независимы. Приемник максимального правдоподобия должен формировать логарифм функционала отношения правдоподобия [2, 5]

$$(2) \quad M(\Omega) = \int_{-T/2}^{T/2} \int_{-T/2}^{T/2} x(t_1) x(t_2) \Theta(t_1, t_2, \Omega) dt_1 dt_2 / 2 - H(\Omega) / 2$$

для всех $\Omega \in [\Omega_{\min}; \Omega_{\max}]$. Здесь функция $\Theta(t_1, t_2, \Omega)$ находится из интегрального уравнения [2, 5]

$$(3) \quad \frac{N_0}{2} \Theta(t_1, t_2, \Omega) + \int_{-T/2}^{T/2} K_s(t_1 - t, \Omega) \Theta(t, t_2, \Omega) dt = \frac{2}{N_0} K_s(t_1 - t_2, \Omega),$$

где

$$K_s(t_1-t_2, \Omega) = N_s \sin [\Omega(t_1-t_2)/2] \cos [\omega_0(t_1-t_2)] / [\pi(t_1-t_2)]$$

— функция корреляции сигнала $s(t)$, а $H(\Omega)$ определяется выражением [2]

$$H(\Omega) = \int_0^1 d\lambda \int_{-T/2}^{T/2} \hat{\Theta}(t, t, \lambda, \Omega) dt.$$

Функция $\hat{\Theta}(t_1, t_2, \lambda, \Omega)$ является решением уравнения [2]

$$(4) \quad \hat{\Theta}(t_1, t_2, \lambda, \Omega) + \frac{2\lambda}{N_0} \int_{-T/2}^{T/2} \hat{\Theta}(t_1, t, \lambda, \Omega) K_s(t-t_2, \Omega) dt = \frac{2}{N_0} K_s(t_1-t_2, \Omega).$$

Будем считать время наблюдения достаточно большим, так что $T \gg 2\pi/\Omega_0$. Тогда, решая уравнения (3), (4) аналогично [2] при помощи преобразования Фурье, можем переписать (2) в виде

$$(5) \quad M(\Omega) = \frac{N_s}{N_0(N_s+N_0)} \int_{-T/2}^{T/2} x^2(t, \Omega) dt - \frac{T\Omega}{2\pi} \ln(1+N_s/N_0),$$

где $x(t, \Omega)$ — отклик фильтра с передаточной функцией $G(j\omega, \Omega)$ на реализацию наблюдаемых данных $x(t)$. Для рассматриваемого случайного сигнала $|G(j\omega, \Omega)|=1$, когда $|\omega \pm \omega_0| \leq \Omega/2$, и $|G(j\omega, \Omega)|=0$, когда $|\omega \pm \omega_0| > \Omega/2$. Выражение (5) определяет структуру одной из возможных реализаций приемника максимального правдоподобия для случайного сигнала со спектром мощности (1).

При отсутствии сигнала $s(t)$ выходной сигнал приемника $M(\Omega)$ можно представить в виде суммы нормированных регулярной и шумовой составляющих [5]

$$(6) \quad M(\Omega) = q\sqrt{T}[\sqrt{T}S_0(\Omega) + N_0(\Omega)], \quad S_0(\Omega) = \langle M(\Omega) \rangle / qT = \\ = -\Omega[\ln(1+q) - q/(1+q)]/2\pi q, \quad N_0(\Omega) = [M(\Omega) - \langle M(\Omega) \rangle]/q\sqrt{T},$$

где $q=N_s/N_0$. При этом $\langle N_0(\Omega) \rangle=0$ и

$$(7) \quad \langle N_0(\Omega_1)N_0(\Omega_2) \rangle = \min(\Omega_1, \Omega_2)/2\pi(1+q)^2.$$

При наличии $s(t)$ в наблюдаемых данных для функции $M(\Omega)$ справедливо представление, аналогичное (7), 6

$$(8) \quad M(\Omega) = q\sqrt{T}[\sqrt{T}S_1(\Omega) + N_1(\Omega)], \quad S_1(\Omega) = \langle M(\Omega) \rangle / qT = \\ = \{q^2 \min(\Omega_0, \Omega)/(1+q) - \Omega[\ln(1+q) - q/(1+q)]\}/2\pi q, \\ N_1(\Omega) = [M(\Omega) - \langle M(\Omega) \rangle]/q\sqrt{T}.$$

Очевидно, $\langle N_1(\Omega) \rangle=0$,

$$(9) \quad \langle N_1(\Omega_1)N_1(\Omega_2) \rangle = \\ = \frac{1}{2\pi} \left\{ \begin{array}{ll} \min(\Omega_1, \Omega_2), & \min(\Omega_1, \Omega_2) < \Omega_0, \\ [\min(\Omega_1, \Omega_2) + (2q+q^2)\Omega_0]/(1+q)^2, & \min(\Omega_1, \Omega_2) \geq \Omega_0. \end{array} \right.$$

Это выражение можно существенно упростить, если ввести взаимно-однозначное непрерывное преобразование неизвестного параметра

$$(10) \quad \Omega = 2\pi \begin{cases} l, & l < l_0, \\ (1+q)^2 l - (2q+q^2)l_0, & l \geq l_0, \end{cases}$$

где $l_0 = \Omega_0/2\pi$. С учетом (10) формулы (8), (9) принимают вид

$$(11) \quad \hat{M}(l) = M(\Omega(l)) = q\sqrt{T}[\sqrt{T}\hat{s}_1(l) + \hat{N}_1(l)];$$

$$(12) \quad \hat{s}_1(l) = \begin{cases} \Gamma_1(q)l, & l < l_0, \\ \Gamma_2(q)l_0 - [\Gamma_2(q) - \Gamma_1(q)]l, & l \geq l_0; \end{cases}$$

$$(13) \quad \langle \hat{N}_1(l) \rangle = 0, \quad \langle \hat{N}_1(l_1) \hat{N}_1(l_2) \rangle = \min(l_1, l_2).$$

Здесь $\Gamma_1(q) = [q - \ln(1+q)]/q$, $\Gamma_2(q) = (2+q)\ln(1+q) - q$. Согласно (10), границы априорного интервала определения параметра l можно записать как

$$(14) \quad L_1 = \Omega_{\min}/2\pi, \quad L_2 = [\Omega_{\max} + (2q + q^2)\Omega_0]/2\pi(1+q)^2.$$

Таким образом, функция $\hat{M}(l)$ определена на интервале $[L_1, L_2]$.

Отметим, что при $T \rightarrow \infty$ шумовые функции $N_0(\Omega)$, $N_1(\Omega)$, $\hat{N}_1(l)$ являются реализациями асимптотически гауссовских процессов [2]. Следовательно, при достаточно больших значениях времени наблюдения функции $N_0(\Omega)$, $N_1(\Omega)$, $\hat{N}_1(l)$ можно аппроксимировать реализациями гауссовских процессов.

2. ОБНАРУЖЕНИЕ СЛУЧАЙНОГО СИГНАЛА

Приемник максимального правдоподобия выносит решение о наличии или отсутствии сигнала $s(t)$ в наблюдаемых данных $x(t)$ на основе сравнения абсолютного максимума $M(\Omega)$ (2), (5) при $\Omega \in [\Omega_{\min}; \Omega_{\max}]$ с порогом h . Решение о наличии сигнала принимается, когда $\max M(\Omega) > h$; в противном случае принимается решение об отсутствии сигнала.

Найдем вероятности ошибок первого рода (ложной тревоги) α и второго рода (пропуска сигнала) β при обнаружении случайного сигнала приемником максимального правдоподобия. При отсутствии полезного сигнала на входе приемника его выходной сигнал $M(\Omega)$ имеет вид (7). Переходя к нормированной статистике $m(\Omega) = M(\Omega)/q\sqrt{\mu}$, где $\mu = T\Omega_{\max}/2\pi$, вероятность ложной тревоги можно записать как $\alpha = P[\max m(\Omega) > u]$ или

$$(15) \quad \alpha = 1 - F_N(u),$$

где

$$(16) \quad F_N(u) = P\left\{\min_{\Omega} [u - m(\Omega)] > 0\right\} = P\left[\min_{\Omega} \chi(\Omega) > u\right],$$

$$\Omega \in [\Omega_{\min}; \Omega_{\max}],$$

а $u = h/q\sqrt{\mu}$ — нормированный порог. Отметим, что функция $F_N(u)$ совпадает с вероятностью непревышения наибольшим выбросом нормированной функции $m(\Omega)$ порога u . В соответствии с [2, 6] и (7) при $T \rightarrow \infty$ $\chi(\Omega) = -u - m(\Omega)$ является реализацией асимптотически марковского гауссовского процесса. Из (6), (7) находим коэффициенты сноса и диффузии этого процесса

$$(17) \quad a_0 = \bar{\gamma}\mu\Gamma_3(q)/\Omega_{\max}, \quad b_0 = 1/(1+q)^2\Omega_{\max},$$

где $\Gamma_3(q) = \ln(1+q)/q - 1/(1+q)$. Следовательно, при больших T можно аппроксимировать функцию $\chi(\Omega)$ реализацией марковского гауссовского процесса с коэффициентами сноса и диффузии (17). Тогда асимптотически точное при $T \rightarrow \infty$ выражение для распределения (16) определяется из решения уравнения Фоккера — Планка — Колмогорова [6] с коэффициентами (17) при соответствующих начальном и граничных условиях, как это сделано в [7]. Получив таким образом выражение для распределения (16), после подстановки его в (15) находим вероятность ложной тревоги

$$(18) \quad \alpha = 1 - \frac{1}{\sqrt{2\pi v}} \int_0^\infty \exp\left\{-\frac{[\xi - u(1+q) - v\sqrt{\mu}(1+q)\Gamma_3]^2}{2v}\right\} \times \\ \times \left\{ \Phi\left[\sqrt{\mu(1-v)}(1+q)\Gamma_3 + \frac{\xi}{\sqrt{1-v}}\right] - \exp[-2\xi\sqrt{\mu}(1+q)\Gamma_3] \times \right. \\ \left. \times \Phi\left[\sqrt{\mu(1-v)}(1+q)\Gamma_3 - \frac{\xi}{\sqrt{1-v}}\right] \right\} d\xi,$$

где $\Phi(\cdot)$ — интеграл вероятности [2, 5], $v^* = \Omega_{\min}/\Omega_{\max}$, $v_0 = \Omega_0/\Omega_{\max}$. Формула (18) существенно упрощается, когда $v \ll 1$, но $\mu v^* \gg 1$

$$(19) \quad \alpha \approx 1 - \Phi[u(1+q) + (1+q)\Gamma_s \sqrt{\mu}] + \exp[-2u(1+q)\Gamma_s \sqrt{\mu}] \{1 - \Phi[u(1+q) - (1+q)\Gamma_s \sqrt{\mu}]\}.$$

Если $\Omega_{\min} \rightarrow \Omega_{\max}$, т. е. априорный интервал определения Ω стягивается в точку, то

$$(20) \quad \alpha = \alpha_0 = 1 - \Phi[u(1+q) + (1+q)\Gamma_s \sqrt{\mu}].$$

Формула (20) совпадает (при $\mu \gg 1$) с вероятностью ложной тревоги при обнаружении случайного сигнала с априори известной шириной спектра мощности [2].

Перейдем к определению вероятности пропуска случайного сигнала β . При наличии сигнала на входе приемника его выходной сигнал имеет вид (8). По определению $\beta(\Omega_0) = P[\max M(\Omega) < h]$, $\Omega \in [\Omega_{\min}; \Omega_{\max}]$. После преобразования (10) переходим к представлению $M(\Omega)$ в форме (11). Используя нормированную статистику $\hat{m}(l) = \bar{M}(l)/q\sqrt{\mu}$, для вероятности пропуска сигнала получаем выражение

$$(21) \quad \beta(\Omega_0) = P\{\min_l [u - \hat{m}(l)] > 0\} = P[\min_l \eta(l) > 0], \quad l \in [L_1; L_2].$$

Формула (21) определяет вероятность непревышения наибольшим выбросом нормированной статистики $\hat{m}(l)$ порога u . При $T \rightarrow \infty$, согласно (13), $\eta(l) = u - \hat{m}(l)$ является реализацией асимптотически гауссовского марковского процесса. Из (12), (13) находим коэффициенты сноса и диффузии этого процесса

$$(22) \quad a_1(l) = \frac{2\pi\sqrt{\mu}}{\Omega_{\max}} \begin{cases} -\Gamma_1, & L_1 \leq l < l_0, \\ \Gamma_2 - \Gamma_1, & l_0 \leq l \leq L_2; \end{cases}$$

$$b_1 = 2\pi/\Omega_{\max}.$$

Следовательно, при $T \gg 2\pi/\Omega_0$ можно аппроксимировать функцию $\eta(l)$ реализацией марковского гауссовского процесса с коэффициентами сноса и диффузии (22). Тогда асимптотически точное при $T \rightarrow \infty$ выражение для вероятности (21) определяется из решения уравнения Фоккера — Планка — Колмогорова с коэффициентами (22) при соответствующих начальном и граничных условиях, как это сделано в [7]. Переходя затем в полученном выражении для вероятности пропуска сигнала к прежней переменной — нормированной ширине спектра мощности $v = \Omega/\Omega_{\max}$ — с учетом (10), (14) находим, что

$$(23) \quad \beta(\Omega_0) = \frac{1}{\sqrt{2\pi v_0}} \int_0^\infty \exp\left\{-\frac{[\xi + v_0\Gamma_1 \sqrt{\mu}]^2 + u^2 - 2u\Gamma_1 \sqrt{\mu}v_0}{2v_0}\right\} \times$$

$$\times \left\{ \exp\left(\frac{\xi u}{v_0}\right) \Phi\left[u \sqrt{\frac{v_0 - v^*}{v_0 v^*}} + \xi \sqrt{\frac{v^*}{v_0(v_0 - v^*)}}\right] - \exp\left(-\frac{\xi u}{v_0}\right) \times \right.$$

$$\times \Phi\left[u \sqrt{\frac{v_0 - v^*}{v_0 v^*}} - \xi \sqrt{\frac{v^*}{v_0(v_0 - v^*)}}\right] \} \left\{ \Phi\left[\frac{(\Gamma_2 - \Gamma_1) \sqrt{\mu} (1 - v_0)}{1 + q} + \right. \right.$$

$$\left. \left. + \frac{\xi(1+q)}{\sqrt{1-v_0}}\right] - \exp\left[-2\xi(\Gamma_2 - \Gamma_1) \sqrt{\mu}\right] \Phi\left(\frac{(\Gamma_2 - \Gamma_1) \sqrt{\mu} (1 - v_0)}{1 + q} - \frac{\xi(1+q)}{\sqrt{1-v_0}}\right) \right\} d\xi.$$

Формула (23) существенно упрощается, когда $v^* \ll 1$, но $\mu v^* \gg 1$,

$$(24) \quad \beta(\Omega_0) \simeq \sqrt{\frac{2}{\pi v_0}} \int_0^\infty \operatorname{sh}\left(\frac{\xi u}{v_0}\right) \exp\left\{-\frac{[\xi + v_0 \Gamma_1 \bar{V} \mu]^2 + u^2 - 2uv_0 \Gamma_1 \bar{V} \mu}{2v_0}\right\} \times$$

$$\times \left\{ \Phi\left[\frac{(\Gamma_2 - \Gamma_1) \bar{V} \mu (1-v_0)}{1+q} + \frac{\xi(1+q)}{\bar{V} 1-v_0}\right] - \right.$$

$$\left. - \exp[-2\xi(\Gamma_2 - \Gamma_1) \bar{V} \mu] \Phi\left[\frac{(\Gamma_2 - \Gamma_1) \bar{V} \mu (1-v_0)}{1+q} - \frac{\xi(1+q)}{\bar{V} 1-v_0}\right]\right\} d\xi.$$

При $\Omega_{\min} \rightarrow \Omega_{\max}$, т. е. при $v^* \rightarrow 1$, вероятность пропуска сигнала

$$(25) \quad \beta(\Omega_0) = \beta_0 = \Phi(u - \Gamma_1 \bar{V} \mu),$$

что совпадает (при $T \gg 2\pi/\Omega_0$) с вероятностью пропуска случайного сигнала с априори известной шириной спектра мощности [2].

Кроме приемника максимального правдоподобия для обнаружения случайного сигнала с неизвестной шириной спектра мощности можно использовать различные квазиоптимальные системы. В частности, для обнаружения таких сигналов можно использовать подход, развитый в [8] применительно к обнаружению сигналов с неизвестным времененным положением. При этом, в отличие от приемника максимального правдоподобия, выходной сигнал которого $M(\Omega)$ (5) формируется для всех значений $\Omega \in [\Omega_{\min}; \Omega_{\max}]$, на выходе квазиоптимального приемника формируется случайная величина $M(\hat{\Omega})$ — значение функции (5) в одной точке из априорного интервала $\hat{\Omega} \in [\Omega_{\min}; \Omega_{\max}]$. Причем $\hat{\Omega}$, вообще говоря, не равно истинному значению неизвестной ширины спектра мощности принимаемого случайного сигнала. Такой квазиоптимальный приемник в соответствии с (5) может быть реализован посредством фильтра с передаточной функцией $G(j\omega, \hat{\Omega})$ и полосой пропускания $\hat{\Omega}$. Решение о наличии сигнала принимается, когда $M(\hat{\Omega}) > h$. В отсутствие сигнала на входе приемника $M(\hat{\Omega}) = -q\Gamma_3 \bar{V} \mu + \hat{N}_0$, где $\hat{v} = \hat{\Omega}/\Omega_{\max}$, а \hat{N}_0 — гауссовская случайная величина с параметрами $(0, q\bar{V} \mu \hat{v})$. Следовательно, вероятность ложной тревоги при использовании квазиоптимального приемника

$$(26) \quad \hat{\alpha} = 1 - \Phi[(1+q)u/\bar{V} \hat{v} + (1+q)\Gamma_3 \bar{V} \mu \hat{v}].$$

При наличии сигнала выходная статистика квазиоптимального приемника имеет вид $M(\hat{\Omega}) = \mu[q^2 \min(v_0, \hat{v})/(1+q) - \hat{v}q\Gamma_3] + \hat{N}_1$, где \hat{N}_1 — центрированная гауссовская случайная величина, дисперсия которой

$$\langle \hat{N}_1^2 \rangle = q^2 \mu \begin{cases} \hat{v}, & \hat{v} < v_0, \\ [\hat{v} + (2q + q^2)v_0]/(1+q)^2, & \hat{v} \geq v_0. \end{cases}$$

Так что вероятность пропуска сигнала может быть найдена из формулы

$$(27) \quad \hat{\beta}(\Omega_0) \begin{cases} \Phi(u/\bar{V} \hat{v} - \Gamma_1 \bar{V} \mu \hat{v}), & \hat{v} < v_0, \\ \Phi\left[\frac{u}{\sqrt{v_0 + \frac{\hat{v} - v_0}{(1+q)^2}}} - \bar{V} \mu \frac{\Gamma_1 \hat{v} - q(\hat{v} - v_0)/(1+q)}{\sqrt{v_0 + \frac{\hat{v} - v_0}{(1+q)^2}}}\right], & \hat{v} \geq v_0. \end{cases}$$

В качестве примера рассмотрим характеристики обнаружения случайного сигнала, когда неизвестная ширина его спектра мощности (1) $\Omega_0 =$

$=\Omega_{\max}$ ($v_0=1$), а $v^*\ll 1$. При использовании приемника максимального правдоподобия вероятность ложной тревоги будет определяться из (19), а выражение для вероятности пропуска сигнала (24) принимает вид

$$\beta(\Omega_0=\Omega_{\max}) \simeq \Phi(u-\Gamma_1\sqrt{\mu}) - \exp(2u\Gamma_1\sqrt{\mu}) [1-\Phi(u+\Gamma_1\sqrt{\mu})].$$

Если для обнаружения используется квазиоптимальный приемник, то, согласно (26), (27), при $\hat{\Omega}=\Omega_{\max}/2$ ($v=1/2$) вероятности ошибок первого и второго рода равны

$$\begin{aligned}\hat{\alpha} &= 1 - \Phi[(1+q)u\sqrt{2} + \\ &+ (1+q)\Gamma_3\sqrt{\mu/2}], \\ \hat{\beta}(\Omega_0=\Omega_{\max}) &= \Phi(u\sqrt{2} - \Gamma_1\sqrt{\mu/2}).\end{aligned}$$

На рис. 1 приведены зависимости вероятности правильного обнаружения $D=1-\beta$ случайного сигнала с неизвестной шириной спектра мощности (при $\Omega_0=\Omega_{\max}$) от величины параметра $q=N_s/N_0$ при фиксированном значении вероятности ложной тревоги $\alpha=10^{-2}$ и двух значениях параметра μ . Сплошные кривые представляют зависимости $D(q)$ для приемника максимального правдоподобия, а штрихпунктирные кривые — зависимости $D(q)$ для квазиоптимального приемника. На этом же рисунке для сравнения пунктиром изображены зависимости $D(q)$ для случайного сигнала с априори известной шириной спектра мощности, рассчитанные по формулам (20), (25). Из рис. 1 видно, что при $\Omega_0=\Omega_{\max}$ потери в качестве обнаружения за счет незнания ширины спектра мощности случайного сигнала относительно невелики при использовании приемника максимального правдоподобия. Применение квазиоптимального приемника приводит к существенно большим потерям. При помощи кривых рис. 1 можно определить проигрыш в качестве обнаружения при использовании квазиоптимального приемника вместо более сложного приемника максимального правдоподобия.

3. ОЦЕНКА ШИРИНЫ СПЕКТРА МОЩНОСТИ СЛУЧАЙНОГО СИГНАЛА

Рассмотрим характеристики приемника максимального правдоподобия, когда производится оценка неизвестной ширины Ω_0 спектра мощности (1) случайного сигнала $s(t)$. При этом предполагается, что сигнал $s(t)$ присутствует на входе приемника с вероятностью 1. Оценка параметра Ω_0 определяется как положение Ω_m абсолютного максимума $M(\Omega)$ (8) на интервале $[\Omega_{\min}; \Omega_{\max}]$. Следовательно, распределение оценки можно записать в виде

$$P_m(\tilde{\Omega}) = P[\Omega_m < \tilde{\Omega}] = P[\max_{[\Omega_{\min}; \tilde{\Omega}]} M(\Omega) > \max_{[\tilde{\Omega}; \Omega_{\max}]} M(\Omega)],$$

$$\tilde{\Omega} \in [\Omega_{\min}; \Omega_{\max}].$$

Оценка максимального правдоподобия Ω_m в силу преобразования (10) однозначно связана с положением l_m абсолютного максимума функции $\hat{M}(l)$ (11). Поэтому для нахождения распределения $P_m(\tilde{\Omega})$ оценки Ω_m достаточно определить функцию распределения случайной величины l_m , которая по определению имеет вид

$$(28) \quad P_m(L) = P[l_m < L] = P[\max_{[L_1; L]} \hat{M}(l) > \max_{[L; L_2]} \hat{M}(l)], \quad L \in [L_1; L_2].$$

Обозначая $\Delta(l) = [\hat{M}(l) - \hat{M}(L)]/q\sqrt{T}$, перепишем (28) как

$$P_m(L) = P[\max_{[L_1; L]} \Delta(l) > \max_{[L; L_2]} \Delta(l)].$$

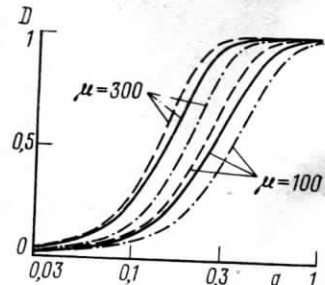


Рис. 1. Кривые обнаружения

Следовательно, распределение случайной величины l_m можно выразить через двумерную функцию распределения абсолютных максимумов реализаций $\Delta(l)$

$$P(u, v, L) = P[\max_{[L_1; L]} \Delta(l) < u, \max_{[L; L_2]} \Delta(l) < v].$$

Учитывая, что при $T \rightarrow \infty$ $\Delta(l)$ является реализацией гауссовского случайного процесса, найдем его функцию корреляции $K_\Delta(l_1, l_2)$, которая в соответствии с (13) равна

$$(29) \quad K_\Delta(l_1, l_2) = \begin{cases} \min(|L-l_1|, |L-l_2|), & (L-l_1)(L-l_2) \geq 0, \\ 0, & (L-l_1)(L-l_2) < 0. \end{cases}$$

Таким образом, если $T \gg 2\pi/\Omega_0$, то отрезки реализаций процесса $\Delta(l)$ на интервалах $[L_1; L]$ и $[L; L_2]$ приближенно независимы. Значит, для больших T

$$P(u, v, L) \approx P[\max_{[L_1; L]} \Delta(l) < u] P[\max_{[L; L_2]} \Delta(l) < v] = P_{1L}(u) P_{2L}(v),$$

а распределение случайной величины l_m равно [9]

$$(30) \quad P_m(L) = \int_0^\infty P_{2L}(u) dP_{1L}(u).$$

Воспользовавшись формулировкой теоремы Дуба, приведенной в [10], получаем, что при $T \rightarrow \infty$ функция $\Delta(l)$ является, в соответствии с (29), реализацией асимптотически марковского гауссовского процесса. Из (12) и (29) находим коэффициенты сноса и диффузии этого процесса

$$(31) \quad \begin{aligned} a(l) &= \sqrt{T} \begin{cases} \Gamma_1, & L_1 \leq l < l_0, \\ \Gamma_1 - \Gamma_2, & l_0 \leq l \leq L_2; \end{cases} \\ b &= 1. \end{aligned}$$

Приближенные выражения для распределений $P_{1L}(u)$, $P_{2L}(v)$ определяются из решения соответствующих краевых задач для уравнения Фоккера — Планка — Колмогорова, как это сделано в [7, 9]. В полученном таким образом распределении $P_m(L)$ (30) переходим с учетом (10), (14) от аргумента $L \in [L_1; L_2]$ к аргументу $\bar{\Omega} \in [\Omega_{\min}; \Omega_{\max}]$. При этом асимптотические (при $T \rightarrow \infty$) свойства полученной функции распределения $P_m(\bar{\Omega})$ оценки максимального правдоподобия Ω_m зависят существенным образом от того, является ли истинное значение Ω_0 строго внутренней точкой из априорного интервала $[\Omega_{\min}; \Omega_{\max}]$ или совпадает с одной из его границ. Поэтому все три случая: $\Omega_0 \in (\Omega_{\min}; \Omega_{\max})$, $\Omega_0 = \Omega_{\max}$, $\Omega_0 = \Omega_{\min}$ требуют отдельного рассмотрения, как это сделано в [7].

Положим сначала, что Ω_0 лежит строго внутри априорного интервала, $\Omega_0 \in (\Omega_{\min}; \Omega_{\max})$. Исследуя аналогично [7] поведение распределения оценки $P_m(\bar{\Omega})$, находим асимптотически точные при $T \rightarrow \infty$ выражения для условных смещения и рассеяния оценки ширины спектра мощности

$$(32) \quad d(\Omega_m | \Omega_0) = \langle \Omega_m - \Omega_0 | \Omega_0 \rangle \approx (\pi/T) [\Gamma_1^3 (2\Gamma_2 - \Gamma_1) (1+q)^2 - (\Gamma_2 - \Gamma_1)^3 (\Gamma_1 + \Gamma_2)] / [\Gamma_1^2 \Gamma_2^2 (\Gamma_2 - \Gamma_1)^2],$$

$$(33) \quad V(\Omega_m | \Omega_0) = \langle (\Omega_m - \Omega_0)^2 | \Omega_0 \rangle \approx (2\pi^2/T^2) \{ [2\Gamma_2^3 - \Gamma_1^2 (\Gamma_1 + \Gamma_2)] (\Gamma_2 - \Gamma_1)^4 + \Gamma_1^4 (1+q)^4 [2\Gamma_2^3 - (\Gamma_2 - \Gamma_1)^2 (2\Gamma_2 - \Gamma_1)] \} / [\Gamma_1^4 \Gamma_2^3 (\Gamma_2 - \Gamma_1)^4].$$

Отметим, что правые части выражений (32), (33) не зависят от истинного значения Ω_0 ширины спектра мощности (1). Следовательно, условные смещение и рассеяние оценки максимального правдоподобия Ω_m , когда $\Omega_0 \in (\Omega_{\min}; \Omega_{\max})$, асимптотически (при $T \rightarrow \infty$) совпадают с соответствующими безусловными характеристиками. Кроме того, анализ формулы (32) показывает, что при любых $q > 0$ $d(\Omega_m | \Omega_0) \leq 0$, $\Omega_0 \in (\Omega_{\min}; \Omega_{\max})$.

Поскольку при $\Omega_0 \in (\Omega_{\min}; \Omega_{\max})$ смещение оценки (32) при $T \gg 2\pi/\Omega_0$ постоянно, то при необходимости нетрудно найти асимптотически несмешанную (при $T \rightarrow \infty$) оценку $\Omega_m^* = \Omega_m - d(\Omega_m | \Omega_0)$. Эта оценка обладает такой же дисперсией, что и оценка максимального правдоподобия Ω_m :

$$(34) \quad D(\Omega_m | \Omega_0) = \langle (\Omega_m - \langle \Omega_m \rangle)^2 | \Omega_0 \rangle = \langle (\Omega_m^* - \Omega_0)^2 | \Omega_0 \rangle \simeq \\ \simeq (\pi^2/T^2) \{ [3\Gamma_2^4 - 2\Gamma_1^3\Gamma_2 - \Gamma_1^4]/(\Gamma_1^4\Gamma_2^4) + (1+q)^4 [4\Gamma_2^4 - \\ - 2\Gamma_2(\Gamma_2 - \Gamma_1)^2(2\Gamma_2 - \Gamma_1) - \Gamma_1^2(2\Gamma_2 - \Gamma_1)^2]/[\Gamma_1^4(\Gamma_2 - \Gamma_1)^4] + \\ + 2(1+q)^2(2\Gamma_2 - \Gamma_1)(\Gamma_1 + \Gamma_2)/[\Gamma_1\Gamma_2^4(\Gamma_2 - \Gamma_1)] \}.$$

Выражения (32), (34) существенно упрощаются, когда $q \ll 1$ или $q \gg 1$. В частности, пусть $q \ll 1$, но выполняется условие $T\Omega_0 q^2 \gg 1$, что обеспечи-

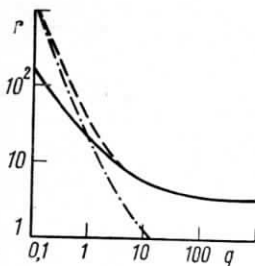


Рис. 2. Нормированный модуль смещения оценки

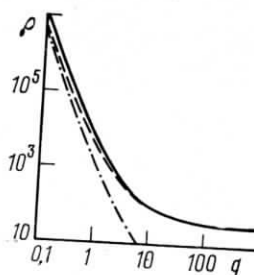


Рис. 3. Нормированная дисперсия оценки

вает высокую апостериорную точность оценки. В этом случае

$$d(\Omega_m | \Omega_0) \simeq -14\pi/3qT, D(\Omega_m | \Omega_0) \simeq 104\pi^2/q^4T^2.$$

Аналогично, для $q \gg 1$ имеем

$$(35) \quad d(\Omega_m | \Omega_0) \simeq -\pi/T, D(\Omega_m | \Omega_0) \simeq 3\pi^2/T^2.$$

Из формул (35) следует, что дисперсия оценки Ω_m при $q \rightarrow \infty$ и конечных значениях времени наблюдения T ограничена снизу, т. е. оценка ширины спектра мощности (1) несингулярна в отсутствие белого шума, если $\Omega_0 \in (\Omega_{\min}; \Omega_{\max})$.

Заметим, что оценка максимального правдоподобия ширины спектра мощности, являющаяся достаточно гладкой функцией частоты, сингулярна в отсутствие белого шума [5].

Рассмотрим теперь случай, когда $\Omega_0 = \Omega_{\max}$. Исследуя аналогично [7] поведение распределения оценки при $\Omega_0 = \Omega_{\max}$ и $T \rightarrow \infty$, получаем асимптотически точные выражения для условных смещения, рассеяния и дисперсии оценки

$$(36) \quad d(\Omega_m | \Omega_{\max}) = \langle \Omega_m - \Omega_{\max} | \Omega_{\max} \rangle \simeq -\pi/TT\Gamma_1^2, \\ V(\Omega_m | \Omega_{\max}) = \langle (\Omega_m - \Omega_{\max})^2 | \Omega_{\max} \rangle \simeq 4\pi^2/T^2\Gamma_1^4,$$

$$(37) \quad D(\Omega_m | \Omega_{\max}) = \langle (\Omega_m - \langle \Omega_m \rangle)^2 | \Omega_{\max} \rangle \simeq 3\pi^2/T^2\Gamma_1^4.$$

В заключение остановимся на случае, когда $\Omega_0 = \Omega_{\min}$. Аналогично [7], исследуя асимптотические свойства распределения оценки при $\Omega_0 = \Omega_{\min}$ и $T \rightarrow \infty$, находим асимптотически точные выражения для условных характеристик

$$(38) \quad d(\Omega_m | \Omega_{\min}) = \langle \Omega_m - \Omega_{\min} | \Omega_{\min} \rangle \simeq \pi(1+q)^2/T(\Gamma_2 - \Gamma_1)^2,$$

$$V(\Omega_m | \Omega_{\min}) = \langle (\Omega_m - \Omega_{\min})^2 | \Omega_{\min} \rangle \simeq 4\pi^2(1+q)^4/T^2(\Gamma_2 - \Gamma_1)^4,$$

$$(39) \quad D(\Omega_m | \Omega_{\min}) = \langle (\Omega_m - \langle \Omega_m \rangle)^2 | \Omega_{\min} \rangle \simeq 3\pi^2(1+q)^4/T^2(\Gamma_2 - \Gamma_1)^4.$$

На рис. 2 приведены зависимости нормированного модуля смещения $r = T|d(\Omega_m | \Omega_0)|$, а на рис. 3 — нормированной дисперсии $\rho = T^2D(\Omega_m | \Omega_0)$

оценки от параметра q . Сплошные кривые рассчитаны по формулам (32), (34) для $\Omega_0 \in (\Omega_{\min}; \Omega_{\max})$, пунктирные — для $\Omega_0 = \Omega_{\max}$ по формулам (36), (37) и штрихпунктирные — для $\Omega_0 = \Omega_{\min}$ по формулам (38), (39).

ЛИТЕРАТУРА

1. Ван Трис Г. Теория обнаружения, оценок и модуляции. М.: Сов. радио, 1972, т. 1.
2. Бакут П. А., Большаков И. А., Герасимов Б. М. и др. Вопросы статистической теории радиолокации/Под ред. Тартаковского Г. П. М.: Сов. радио, 1963, т. 1.
3. Галун С. А. В кн.: Системы и средства обработки, передачи и приема информации. Воронеж: Политехнический ин-т, 1980, с. 137.
4. Трифонов А. П. Радиотехника и электроника, 1980, т. 25, № 4, с. 749.
5. Куликов Е. И., Трифонов А. П. Оценка параметров сигналов на фоне помех. М.: Сов. радио, 1978.
6. Тихонов В. И., Миронов М. А. Марковские процессы. М.: Сов. радио, 1977.
7. Трифонов А. П. Радиотехника и электроника, 1977, т. 22, № 1, с. 90.
8. Горяинов В. Т. Изв. вузов МВССО СССР (Радиоэлектроника), 1970, т. 13, № 7, с. 787.
9. Терентьев А. С. Радиотехника и электроника, 1968, т. 13, № 4, с. 652.
10. Kailath T. IEEE Trans., 1966, v. IT-12, № 4, p. 442.

Поступила в редакцию
6.IV.1981